

## Fiche de suivi des tests métrologiques de niveau 1 sur le LSM 510

Fiche de suivi de niveau N1 du LSM 510 salle 926 n°SIP 41146		Dernière mesure le 10/03/2011																																
Grandeurs d'influence	Température = 21°C																																	
Suivi de la mesure de puissance des raies lasers 488, 543 et 633 nm																																		
Evolution au cours du temps de la puissance (en mW) des raies lasers 488, 543 et 633 nm	Variation de la puissance (en mW) des raies lasers 488, 543 et 633 nm pendant deux minutes avec le miroir dichroïque primaire 20/80																																	
	<table border="1" style="width: 100%; border-collapse: collapse;"> <thead> <tr> <th>raie laser</th> <th>t = 0 (mW)</th> <th>t = 2 minutes (mW)</th> <th>t = 2 minutes/t = 0</th> </tr> </thead> <tbody> <tr> <td>488nm</td> <td>0,308</td> <td>0,308</td> <td>100%</td> </tr> <tr> <td>543nm</td> <td>0,086</td> <td>0,086</td> <td>101%</td> </tr> <tr> <td>633nm</td> <td>0,076</td> <td>0,075</td> <td>99%</td> </tr> <tr> <td></td> <td colspan="2" style="text-align: center;">puissance moyenne sur 2 minutes (mW)</td> <td style="text-align: center;">ecart type</td> </tr> <tr> <td>488nm</td> <td colspan="2" style="text-align: center;">0,308</td> <td style="text-align: center;">0,001</td> </tr> <tr> <td>543nm</td> <td colspan="2" style="text-align: center;">0,086</td> <td style="text-align: center;">0,000</td> </tr> <tr> <td>633nm</td> <td colspan="2" style="text-align: center;">0,075</td> <td style="text-align: center;">0,000</td> </tr> </tbody> </table>		raie laser	t = 0 (mW)	t = 2 minutes (mW)	t = 2 minutes/t = 0	488nm	0,308	0,308	100%	543nm	0,086	0,086	101%	633nm	0,076	0,075	99%		puissance moyenne sur 2 minutes (mW)		ecart type	488nm	0,308		0,001	543nm	0,086		0,000	633nm	0,075		0,000
raie laser	t = 0 (mW)	t = 2 minutes (mW)	t = 2 minutes/t = 0																															
488nm	0,308	0,308	100%																															
543nm	0,086	0,086	101%																															
633nm	0,076	0,075	99%																															
	puissance moyenne sur 2 minutes (mW)		ecart type																															
488nm	0,308		0,001																															
543nm	0,086		0,000																															
633nm	0,075		0,000																															
Mesures de puissance réalisées, 20 minutes après l'allumage des lasers, en sortie d'objectif x10																																		
Suivi de l'homogénéité de champ pour la raie laser 488 nm																																		
Variation maximale de l'intensité du centre à la périphérie en fonction du temps pour les axes X et Y	Homogénéité du champ d'illumination avec des billes fluorescentes																																	
Suivi du coalinement des raies lasers 488, 543 et 633 nm																																		
Suivi de la distance entre les canaux au cours du temps	Projection des 3 canaux sur les différents axes																																	
Utilisation de l'objectif x63 pour les tests de coalinement	<table border="1" style="width: 100%; border-collapse: collapse;"> <thead> <tr> <th></th> <th>488-543</th> <th>543-633</th> <th>488-633</th> </tr> </thead> <tbody> <tr> <td>distance en µm</td> <td>0,099</td> <td>0</td> <td>0,099</td> </tr> <tr> <td>résolution optique théorique en µm</td> <td>0,169</td> <td>0,479</td> <td>0,191</td> </tr> <tr> <td>distance/résolution optique théorique</td> <td style="background-color: #7ed321;">0,585799</td> <td style="background-color: #7ed321;">0</td> <td style="background-color: #7ed321;">0,518329</td> </tr> <tr> <td>coordonnées en pixel</td> <td>488</td> <td>543</td> <td>633</td> </tr> <tr> <td>position en X</td> <td>71</td> <td>71,5</td> <td>71,5</td> </tr> <tr> <td>position en Y</td> <td>73,5</td> <td>73</td> <td>73</td> </tr> <tr> <td>position en Z</td> <td>17</td> <td>17</td> <td>17</td> </tr> </tbody> </table>			488-543	543-633	488-633	distance en µm	0,099	0	0,099	résolution optique théorique en µm	0,169	0,479	0,191	distance/résolution optique théorique	0,585799	0	0,518329	coordonnées en pixel	488	543	633	position en X	71	71,5	71,5	position en Y	73,5	73	73	position en Z	17	17	17
	488-543	543-633	488-633																															
distance en µm	0,099	0	0,099																															
résolution optique théorique en µm	0,169	0,479	0,191																															
distance/résolution optique théorique	0,585799	0	0,518329																															
coordonnées en pixel	488	543	633																															
position en X	71	71,5	71,5																															
position en Y	73,5	73	73																															
position en Z	17	17	17																															
	Personne ayant réalisé les tests : Mise en place le :																																	

## Fiche de suivi des tests métrologiques de niveau 1 sur le LSM 510 Meta

Fiche de suivi de niveau N1 du LSM 510 Meta salle 926 n°SIP 41086		Dernière mesure le 10/03/2011																																
Grandeurs d'influence	Température = 21°C																																	
Suivi de la mesure de puissance des raies lasers 405, 488 et 633 nm																																		
<p>Evolution au cours du temps de la puissance (en mW) des raies lasers 405, 488 et 633 nm</p>	<p>Variation de la puissance (en mW) des raies lasers 405, 488 et 633 nm pendant deux minutes avec le miroir dichroïque primaire 20/80</p> <table border="1" style="width: 100%; border-collapse: collapse;"> <thead> <tr> <th>raie laser</th> <th>t = 0 (mW)</th> <th>t = 2 minutes (mW)</th> <th>t = 2 minutes/t = 0</th> </tr> </thead> <tbody> <tr> <td>488nm</td> <td>0,308</td> <td>0,308</td> <td>100%</td> </tr> <tr> <td>543nm</td> <td>0,086</td> <td>0,086</td> <td>101%</td> </tr> <tr> <td>633nm</td> <td>0,076</td> <td>0,075</td> <td>99%</td> </tr> <tr> <td></td> <td colspan="2" style="text-align: center;">puissance moyenne sur 2 minutes (mW)</td> <td style="text-align: center;">ecart type</td> </tr> <tr> <td>488nm</td> <td colspan="2" style="text-align: center;">0,308</td> <td style="text-align: center;">0,001</td> </tr> <tr> <td>543nm</td> <td colspan="2" style="text-align: center;">0,086</td> <td style="text-align: center;">0,000</td> </tr> <tr> <td>633nm</td> <td colspan="2" style="text-align: center;">0,075</td> <td style="text-align: center;">0,000</td> </tr> </tbody> </table>		raie laser	t = 0 (mW)	t = 2 minutes (mW)	t = 2 minutes/t = 0	488nm	0,308	0,308	100%	543nm	0,086	0,086	101%	633nm	0,076	0,075	99%		puissance moyenne sur 2 minutes (mW)		ecart type	488nm	0,308		0,001	543nm	0,086		0,000	633nm	0,075		0,000
raie laser	t = 0 (mW)	t = 2 minutes (mW)	t = 2 minutes/t = 0																															
488nm	0,308	0,308	100%																															
543nm	0,086	0,086	101%																															
633nm	0,076	0,075	99%																															
	puissance moyenne sur 2 minutes (mW)		ecart type																															
488nm	0,308		0,001																															
543nm	0,086		0,000																															
633nm	0,075		0,000																															
Mesures de puissance réalisées, 20 minutes après l'allumage des lasers, en sortie d'objectif x10																																		
Suivi de l'homogénéité de champ pour la raie laser 488 nm																																		
<p>Variation maximale de l'intensité du centre à la périphérie en fonction du temps pour les axes X et Y</p>	<p>Homogénéité du champ d'illumination avec des billes fluorescentes</p>																																	
Suivi du coalignement des raies lasers 405, 488 et 633 nm																																		
<p>Suivi de la distance entre les canaux au cours du temps</p>	<p>Projection des 3 canaux sur les différents axes</p> <table border="1" style="width: 100%; border-collapse: collapse;"> <thead> <tr> <th></th> <th>488-543</th> <th>543-633</th> <th>488-633</th> </tr> </thead> <tbody> <tr> <td>distance en µm</td> <td>0,099</td> <td>0</td> <td>0,099</td> </tr> <tr> <td>résolution optique théorique en µm</td> <td>0,169</td> <td>0,479</td> <td>0,191</td> </tr> <tr> <td>distance/résolution optique théorique</td> <td>0,585799</td> <td>0</td> <td>0,518125</td> </tr> <tr> <td>coordonnées en pixel</td> <td>488</td> <td>543</td> <td>633</td> </tr> <tr> <td>position en X</td> <td>71</td> <td>71,3</td> <td>71,5</td> </tr> <tr> <td>position en Y</td> <td>73,5</td> <td>73</td> <td>73</td> </tr> <tr> <td>position en Z</td> <td>17</td> <td>17</td> <td>17</td> </tr> </tbody> </table>			488-543	543-633	488-633	distance en µm	0,099	0	0,099	résolution optique théorique en µm	0,169	0,479	0,191	distance/résolution optique théorique	0,585799	0	0,518125	coordonnées en pixel	488	543	633	position en X	71	71,3	71,5	position en Y	73,5	73	73	position en Z	17	17	17
	488-543	543-633	488-633																															
distance en µm	0,099	0	0,099																															
résolution optique théorique en µm	0,169	0,479	0,191																															
distance/résolution optique théorique	0,585799	0	0,518125																															
coordonnées en pixel	488	543	633																															
position en X	71	71,3	71,5																															
position en Y	73,5	73	73																															
position en Z	17	17	17																															
Utilisation de l'objectif x40 pour les tests de coalignement																																		
	Personne ayant réalisé les tests : Mise en place le :																																	



## Fiche de suivi des tests métrologiques de niveau 1 sur l'Apotome Z1

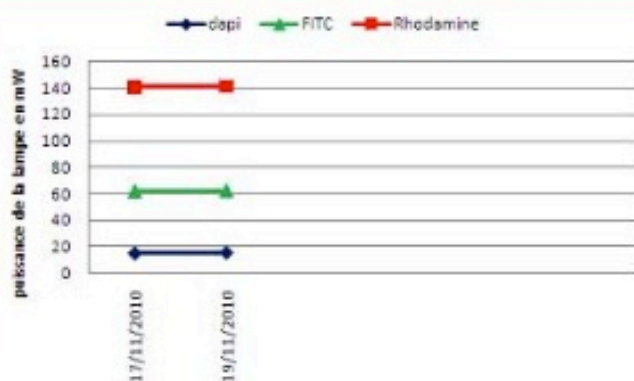
Fiche de suivi de niveau N1 de l'Apotome Z1 salle 1023 n°SIP 47682

Dernière mesure le 19/11/2010

### Suivi de la mesure de puissance de la lampe à mercure

Evolution au cours du temps de la puissance de la lampe mercure en mW pour les canaux Dapi, FITC et Rhodamine

Variation de la puissance de la lampe mercure en mW pour les différents canaux pendant deux minutes



	t = 0 (mW)	t = 2 minutes (mW)	t = 2 minutes/t = 0
Dapi	15,90	15,39	97%
FITC	62,04	62,76	101%
Rhodamine	140,29	141,53	101%
	puissance moyenne sur 2 minutes (mW)		ecart type
Dapi	15,48		0,082
FITC	62,29		0,197
Rhodamine	141,45		0,234

Mesures de puissances réalisées, 20 minutes après l'allumage de la lampe, en sortie d'objectif x10

### Suivi de l'homogénéité de champ pour le filtre FITC

Variation maximale de l'intensité du centre à la périphérie en fonction du temps pour les axes X et Y

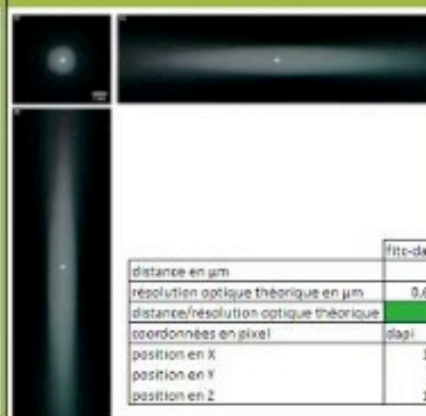
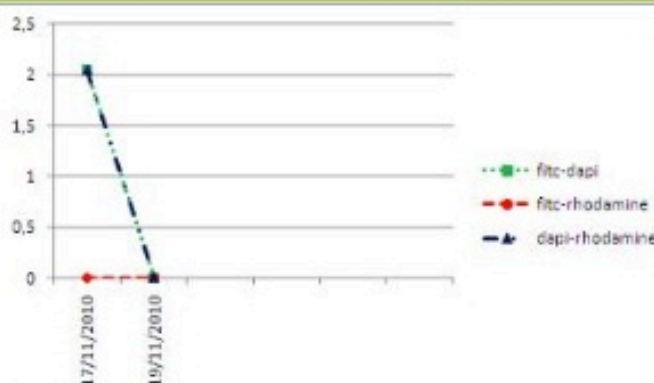
Homogénéité du champ d'illumination avec des billes fluorescentes



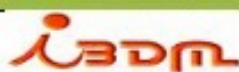
### Suivi des canaux DAPI, FITC et Rhodamine et test de coalignement

Suivi de la distance entre les canaux au cours du temps

Projection des 3 canaux sur les différents axes



Utilisation de l'objectif x40 pour les tests de coalignement



Personne ayant réalisé les tests :  
Mise en place le :